

Zusammenfassung: gedämpfter HO

t15 - 12.01.06

S17

Definierende Gleichung: $\ddot{x} + 2\gamma\dot{x} + \omega_0^2 x = 0$ (1)

γ : Dämpfungskonstante, ω_0 : Kreisfrequenz

Komplexer Exp.-Ansatz: $x(t) = \operatorname{Re}[z(t)]$, $z(t) = z_0 e^{\lambda t}$ (2)

Charakteristisches Polynom: $P(\lambda) = \lambda^2 + 2\gamma\lambda + \omega_0^2$

Wurzeln (Nullstellen) v. P:

$$\lambda_{\pm} = \begin{cases} -\gamma \pm i\sqrt{\omega_0^2 - \gamma^2} & ; \quad \omega_0 > \gamma \quad \text{"unterdämpft"} \\ -\gamma \pm \sqrt{\gamma^2 - \omega_0^2} & ; \quad \gamma < \omega_0 \quad \text{"überdämpft"} \\ -\gamma & ; \quad \gamma = \omega_0 \quad \text{"kritische Dämpfung"} \end{cases}$$

Für Details der Lösungen,
siehe S14-S16:

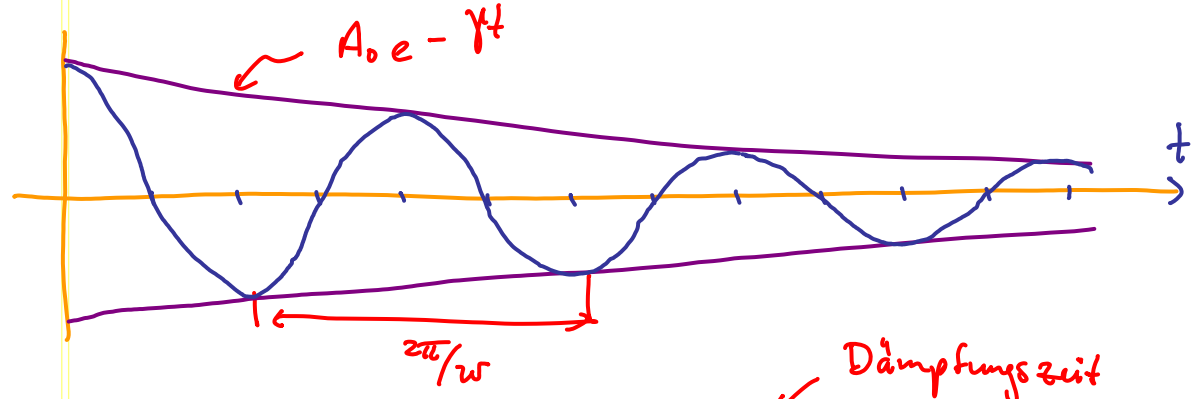
Unterdämpfter Fall: $\omega_0 > \gamma$:

S14

$$\lambda_{\pm} = -\gamma \pm i\omega, \quad \text{mit} \quad \omega = \sqrt{\omega_0^2 - \gamma^2} < \omega_0 \quad (1)$$

Lösung beschreibt exp. gedämpfte Schwingungen:

$$\operatorname{Re}(z_0 e^{\lambda_{\pm} t}) = x(t) = e^{-\gamma t} \operatorname{Re}[z_0 e^{\pm i\omega t}] = e^{-\gamma t} |z_0| \omega (\cos(\omega t) \pm i\sin(\omega t)) \quad (2)$$



* Amplitude $\frac{A(t)}{A(0)}$ zerfällt nach Zeit $1/\gamma$ auf $1/e$

Überdämpfter Fall: $\omega_0 < \gamma$ $z = z_0^+ e^{\lambda_+ t}$ S15

$$\lambda_{\pm} = -(\gamma \mp \Gamma), \quad \text{mit} \quad \Gamma = \sqrt{\gamma^2 - \omega_0^2} < \gamma \quad (1)$$

Lösung beschreibt exp. Zerfall in die Ruhelagen,

mit zwei verschiedenen Zerfallsraten, $\gamma \mp \Gamma > 0$ Zerfällt langsamer als $e^{-\gamma t}$

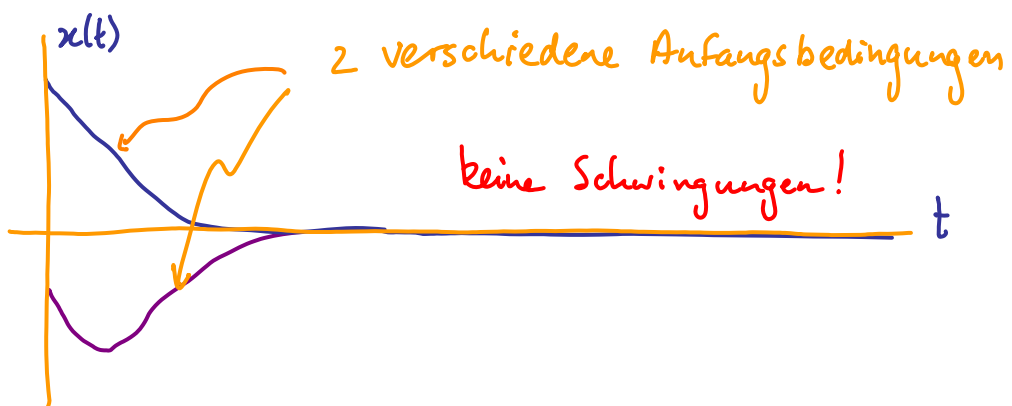
$$x(t) = \operatorname{Re}[z(t)] = e^{-\gamma t} [z_0^+ e^{\Gamma t} + z_0^- e^{-\Gamma t}] \quad (2)$$

schreibe: $= e^{-\gamma t} \{ A \cosh \Gamma t + B \sinh \Gamma t \}$,

$$z_{0\pm} = \frac{1}{2}(A \pm B i)$$

$$\cosh y = (e^y + e^{-y})/2$$

$$\sinh y = (e^y - e^{-y})/2$$



Kritisch gedämpfter Fall / aperiodischer Grenzfall: $\omega_0 = \gamma$: S16

$$\lambda_{\pm} = -\gamma \Rightarrow \text{nur eine Lösung!}$$

Für eine Diff.-Gl. 2. Ordnung gibt es aber immer 2 Lösungen!

Ansatz:

$$x(t) = x_0(t) e^{-\gamma t}$$

"Variation der Konstanten"

$$\dot{x} = (\dot{x}_0 - \gamma x_0) e^{-\gamma t}$$

$$\ddot{x} = (\ddot{x}_0 - 2\gamma \dot{x}_0 + \gamma^2 x_0) e^{-\gamma t} \quad (2)$$

(1) in Bewegungsgl.: (2)

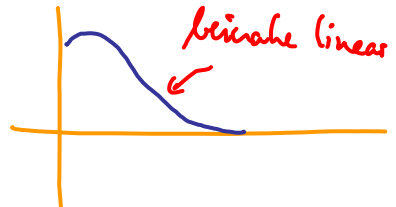
$$0 = \ddot{x} + 2\gamma \dot{x} + \omega_0^2 x = \left[(\ddot{x}_0 - 2\gamma \dot{x}_0 + \gamma^2 x_0) + 2\gamma(\dot{x}_0 - \gamma x_0) + \omega_0^2 x_0 \right] e^{-\gamma t}$$

$$= \ddot{x}_0 + (\gamma^2 - 2\gamma + \omega_0^2)x_0 = 0 \quad \text{für } \omega_0 = \gamma$$

$$\Rightarrow 0 = \ddot{x}_0 \Rightarrow x_0(t) = C_0 + C_1 t$$

Insgesamt:

$$x(t) = [C_0 + C_1 t] e^{-\gamma t}$$

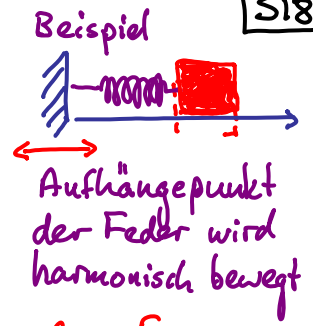


Getriebener HO:

S18

Betrachte harmonische
Antriebskraft: $(\cos \omega t, \sin \omega t, e^{i\omega t})$

$$\vec{F}_{\text{ext}}(t) = F_0 \cos \Omega t \quad \hat{x} \quad (1)$$



Newton 2 liefert: $\ddot{x} + 2\gamma \dot{x} + \omega_0^2 x = f \cos \Omega t \quad , \quad f = \frac{F_0}{m} \quad (2)$

Kompakt notation:
mit linearem Differential-

$$Dx = f \cos \Omega t \quad (3)$$

Operator "D" (wirkt auf $x(t)$): $D(\partial_t) := \partial_t^2 + 2\gamma \partial_t + \omega_0^2 \quad (4)$

(2) ist "inhomogene Differentialgleichung": rechte Seite enthält x nicht

Allgemeine Lösung hat die Form: $x(t) = x_h(t) + x_i(t) \quad (5)$

x_h : Lösung der homogenen Gl: $Dx_h = 0 \quad (\text{bereits bekannt}) \quad (6)$

x_i : Lösung der inhomogenen Gl: $Dx_i = f \cos \Omega t \quad (7)$

"spezielle Lsg." Check: $Dx \stackrel{(5)}{=} Dx_h + Dx_i = 0 + f \cos \Omega t = (3) \quad \leftarrow$

Konstruktion d. speziellen Lösung

$$Dx_i = f \cos \Omega t \quad (1) \quad | S19$$

Komplexe Version: $x_i = \operatorname{Re}[z_i] \quad \text{mit} \quad Dz_i = f e^{i\Omega t} \quad (2)$

Exponentialansatz: $z_i(t) = z_0 e^{i\Omega t}$ Ansatz enthält dieselbe Frequenz wie treibende Kraft: Teilchen folgt dem Antrieb (3a)

mit $z_0 = |z_0| e^{i\varphi}$, dann: $x_i(t) = \operatorname{Re}[|z_0| e^{i(\Omega t + \varphi)}] = |z_0| \cos(\Omega t + \varphi) \quad (3b)$

Finde z_0 : (3) in (2): $(\partial_t^2 + 2\gamma \partial_t + \omega_0^2) z_0 e^{i\Omega t} = f e^{i\Omega t} \quad (4)$

$$\begin{aligned} \partial_t e^{i\Omega t} &= i\Omega e^{i\Omega t} \\ \partial_t^2 e^{i\Omega t} &= (i\Omega)^2 e^{i\Omega t} \end{aligned} \quad (-\Omega^2 + 2\gamma i\Omega + \omega_0^2) z_0 e^{i\Omega t} = f e^{i\Omega t} \quad (5)$$

Lösung für z_0 :

$$z_0 = |z_0| e^{i\varphi} \quad (7)$$

Amplitude: $|z_0| = \sqrt{\omega_0^2 - \Omega^2} \quad (20.3)$

$$z_0 = \frac{f}{\omega_0^2 - \Omega^2 + 2\gamma i\Omega} \quad (6)$$

$$f \quad \sqrt{(\omega_0^2 - \Omega^2)^2 + (2\gamma \Omega)^2} \quad (8)$$

Phase: $\tan \varphi = \frac{-2\gamma \Omega}{\omega_0^2 - \Omega^2} \quad (20.6)$

Mathematischer Einstab:

Betrachte

$$z = \frac{a}{u+i\upsilon} , \text{ mit } a, u, \upsilon \in \mathbb{R} \quad (1)$$

Wie lautet Polardarstellung? $z = |z|e^{i\varphi}$?

Betrag:

$$|z| = \sqrt{z \bar{z}} = \sqrt{\left(\frac{a}{u+i\upsilon}\right)\left(\frac{a}{u-i\upsilon}\right)} = \boxed{\frac{a}{\sqrt{u^2 + \upsilon^2}}} \quad (3)$$

Bestimmung v. $\operatorname{Re}(z)$, $\operatorname{Im}(z)$:

$$z = \frac{a}{(u+i\upsilon)} \frac{u-i\upsilon}{u-i\upsilon} = \frac{a(u-i\upsilon)}{u^2 + \upsilon^2} \quad (4)$$

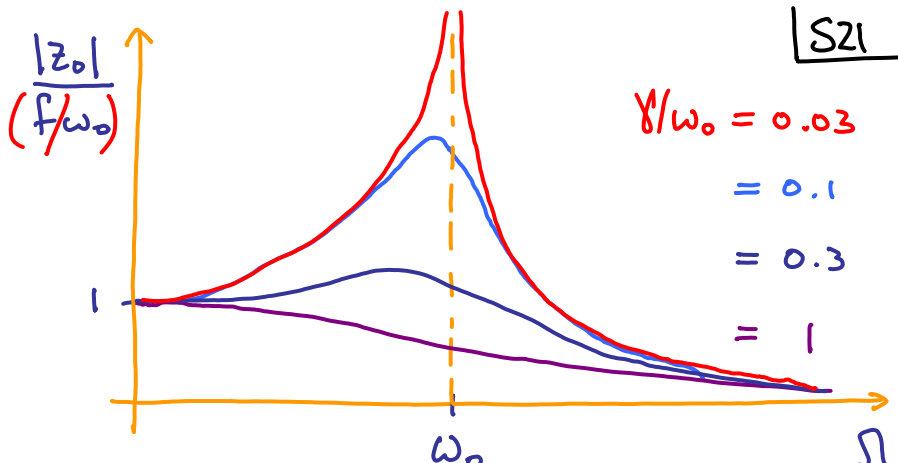
$$\Rightarrow \operatorname{Re}(z) = \frac{au}{u^2 + \upsilon^2}, \quad \operatorname{Im}(z) = -\frac{a\upsilon}{u^2 + \upsilon^2} \quad (5)$$

Phase:

$$\tan \varphi = \frac{\operatorname{Im}(z)}{\operatorname{Re}(z)} = \boxed{-\frac{\upsilon}{u}} \quad (6)$$

Amplitude:

$$|z_0| = \frac{f}{\sqrt{(\omega_0^2 - \Omega^2)^2 + (2\gamma\Omega)^2}} \quad (19.8)$$



- Je größer der "Qualitätsfaktor" $Q := \frac{\omega_0}{\gamma}$, je scharfer und höher die Resonanz.
- Ohne Dämpfung, $\gamma \rightarrow 0$, Divergenz bei $\Omega = \omega_0$ ("Resonanzkatastrophe")
- Maximum bei: $\frac{\partial \sqrt{\dots}}{\partial \Omega^2} \Big|_{\Omega_R} = 0$

$$-2(\omega_0^2 - \Omega_R^2) + (2\gamma)^2 = 0 \quad (4)$$

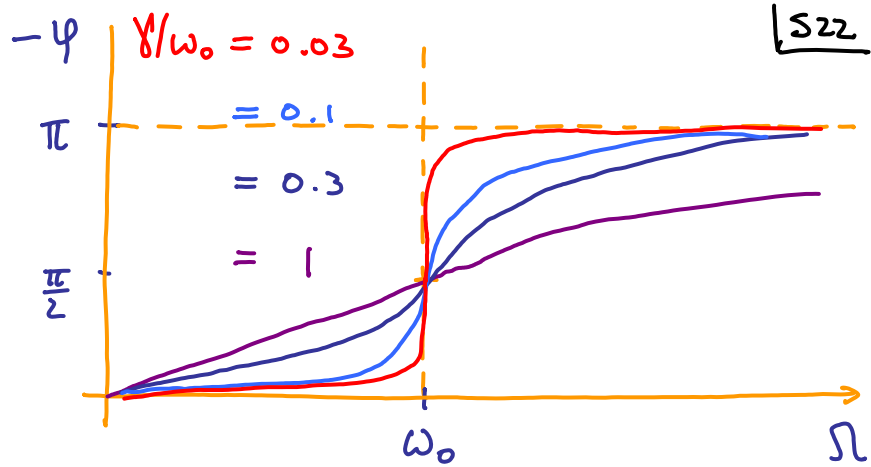
Autrieb reduziert
Resonanzfrequenz
relativ zum freien HO:

$$\Omega_R = \sqrt{\omega_0^2 - 2\gamma^2} < \omega_0 \quad \begin{cases} \text{für } \omega_0 = \gamma\sqrt{2} \\ \Omega_R = 0 \end{cases} \quad (5)$$

$$(14.1) \neq \omega = \sqrt{\omega_0^2 - \gamma^2} \quad \text{für freien gedämpften HO}$$

Phase:

$$\varphi = -\arctan \left(\frac{2\gamma\sqrt{\omega_0^2 - \omega^2}}{\omega_0^2 - \omega^2} \right) \quad (19.9)$$

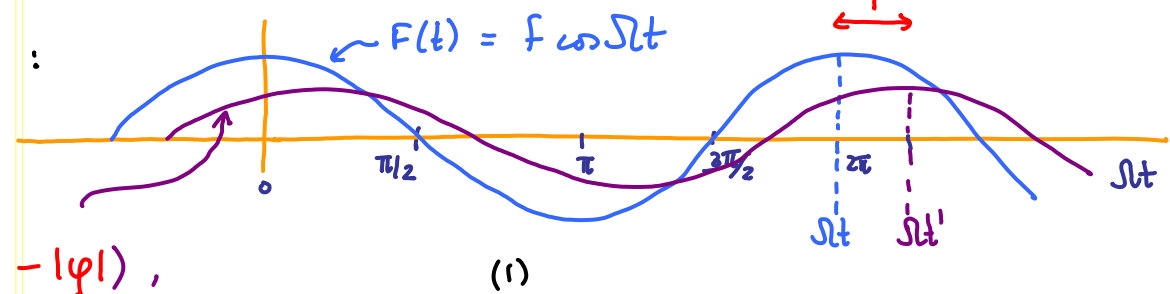


S22

- φ ist immer < 0 :

"nachlaufend"

$$(19.3b) \quad x(t) = |z_0| \cos(\omega t - |\varphi|),$$



(1)

Wie groß ist Verzögerung von $x(t)$ relativ zu Antrieb $F(t)$?

$$\cos(\omega t) = \cos(\omega t' - |\varphi|), \text{ mit } t' = t + |\varphi|/\omega \quad (2)$$

also erreicht $x(t)$ seine Maxima nur $\Delta t = |\varphi|/\omega$ später als Antrieb $F(t)$

Allgemeine Lösung:

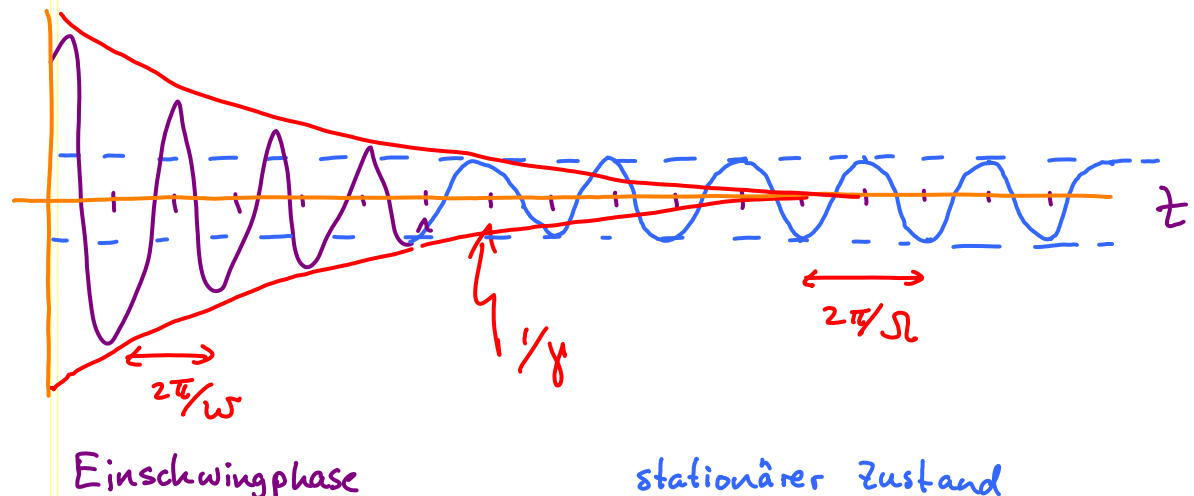
$$x(t) = x_i(t) + x_h(t) \quad \text{siehe (S14 - S16)}$$

$$= |z_0| \cos(\omega t - |\varphi|) + e^{-\gamma t} \begin{cases} A \cos(\omega t + \varphi') & \text{für } \omega_0 > \gamma \\ A \cosh \Gamma t + B \sinh \Gamma t & \text{für } \omega_0 < \gamma \\ C_0 + C_1 t & \text{für } \omega_0 = \gamma \end{cases}$$

Autriebe dominiert für
"stationäre Lösung" $t > 1/\gamma$

klingt ab : "Einschwingen"

Beispiel
für $\omega_0 > \gamma$:

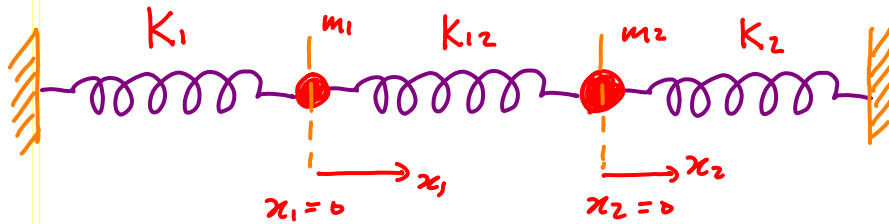


Einschwingphase

stationärer Zustand

Gekoppelte Schwingungen

Zwei gekoppelte Federpendel:



$$\text{Newton 2 für } m_1: m_1 \ddot{x}_1 = -K_1 x_1 + K_{12}(-x_1 + x_2) \quad (1)$$

$$\text{Newton 2 für } m_2: m_2 \ddot{x}_2 = -K_2 x_2 + K_{12}(-x_2 + x_1) \quad (2)$$

Lösung ist i.A. schwierig (allgemeine Methode: T1)

$$\text{Physikalisch wichtiger Spezialfall: } K_1 = K_2 = :K, \quad m_1 = m_2 = :m \quad (3)$$

$$(1) \quad m \ddot{x}_1 = -K x_1 + K_{12}(-x_1 + x_2) \quad (4)$$

$$(2) \quad m \ddot{x}_2 = -K x_2 + K_{12}(-x_2 + x_1) \quad (5)$$

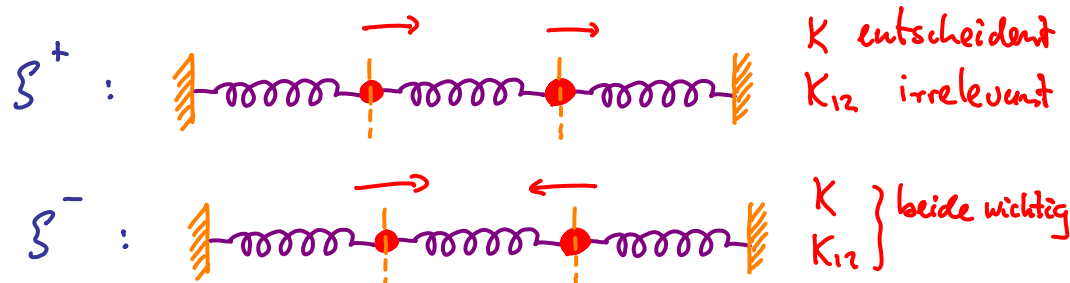
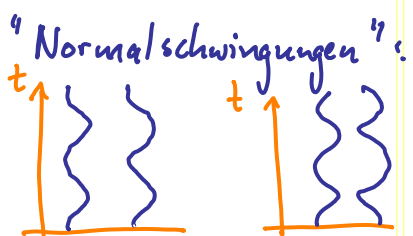
$$\text{Neue Koordinaten: } \xi^+ = \frac{1}{2}(x_1 + x_2), \quad \xi^- = \frac{1}{2}(x_1 - x_2) \quad | S25$$

$$x_i \quad \ddot{\xi}^+ = \frac{1}{2}(\ddot{x}_1 + \ddot{x}_2), \quad \ddot{\xi}^- = \frac{1}{2}(\ddot{x}_1 - \ddot{x}_2) \quad (2)$$

$$\frac{1}{2}[(24.4) + (24.5)]: \quad m \ddot{\xi}^+ = -K \xi^+ \Rightarrow \omega_+ = \sqrt{K/m} \quad (3)$$

$$\frac{1}{2}[(24.4) - (24.5)]: \quad m \ddot{\xi}^- = -(K + 2K_{12}) \xi^- \Rightarrow \omega_- = \sqrt{\frac{K + 2K_{12}}{m}} \quad (4)$$

Gleichungen für ξ^+ und ξ^- entkoppeln: "Entkoppelte Oszillatoren",



Gegenläufige Schwingungen sind schneller: $\omega_- > \omega_+$ (kosten mehr Energie) (5)

Überlagerung von Schwingungen (hierfür ist komplexe Darstellung besonders vorteilhaft) S26

Superpositionsprinzip:

Sei $D(\partial_t)$ ein linearer Operator und $z_j(t)$, $j=1, \dots, N$ Lösung von $Dz_j = 0$

Dann ist die "Superposition" $z(t) = \sum_{j=0}^N a_j z_j(t)$ auch eine Lösung von $Dz = 0$

Beweis:

$$Dz(t) = D\left(\sum_{j=1}^N a_j z_j(t)\right) = \sum_{j=1}^N a_j Dz_j(t) = 0 \quad (1)$$

Beispiel: [siehe S11] Sei $D = \sum_{n=0}^{\infty} c_n \partial_t^n$, mit $c_n \in \mathbb{C}$ (2)

Charakteristisches Polynom: $P(\lambda) = \sum_{n=0}^{\infty} c_n \lambda^n$, Wurzeln seien ω_j , $j=1, \dots, N$ (3)

Lösungen:

$$z_j(t) = \tilde{z}_j e^{\omega_j t}; \text{ Check: } Dz_j = \sum_{n=0}^N c_n \partial_t^n \tilde{z}_j e^{\omega_j t} = \sum_{n=0}^N c_n \omega_j^n \tilde{z}_j e^{\omega_j t} \xrightarrow{(3)} P(\omega_j) = 0$$

Allgemeine Lösung:

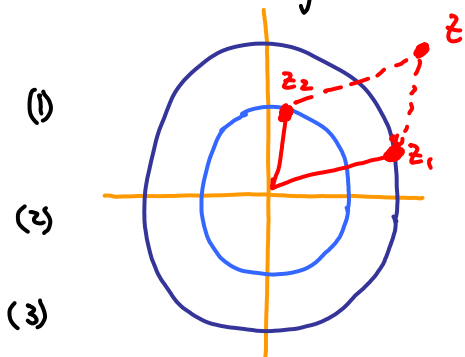
$$z(t) = \sum_{j=1}^N a_j \tilde{z}_j e^{\omega_j t}$$

Sonderfall: gleiche Frequenzen (z.B. Addition von Lösungen des HO \Rightarrow wieder Lösung) S27

Betrachte $z(t) = z_1 e^{i\omega t} + z_2 e^{i\omega t}$

$$z(t) = |z| e^{i(\omega t + \varphi)} = e^{i\omega t} (|z_1| e^{i\varphi_1} + |z_2| e^{i\varphi_2})$$

$$z^*(t) = e^{-i\omega t} (|z_1| e^{-i\varphi_1} + |z_2| e^{-i\varphi_2}) \quad (3)$$



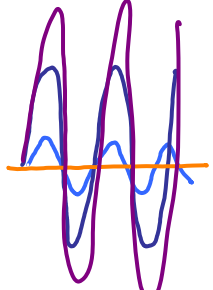
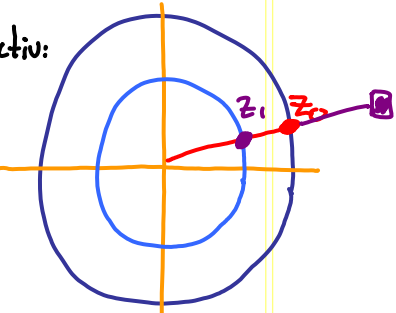
$$\text{Amplitude: } |z| = \sqrt{z z^*} = \sqrt{|z_1|^2 + |z_2|^2 + |z_1||z_2| 2 \cos(\varphi_1 - \varphi_2)} \quad (4)$$

$\xrightarrow{\text{Z}} \text{"Interferenzterm"}$ (5)

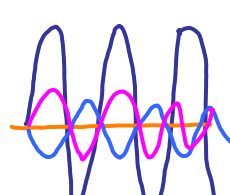
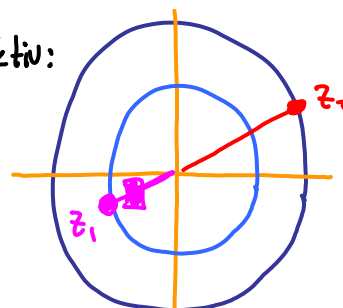
$$\begin{array}{l} \text{Konstruktive} \\ \text{Destruktive} \end{array} \} \text{ Interferenz: } \varphi_1 - \varphi_2 = \begin{cases} 0, 2\pi, 4\pi \\ \pi, 3\pi, 5\pi \end{cases}$$

$$\} \Rightarrow |z| = \begin{cases} |z_1| + |z_2| \\ |z_1| - |z_2| \end{cases}$$

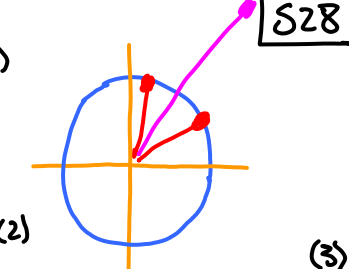
Konstruktiv:



Destruktiv:



Phase: $\tan(\varphi) = \frac{\Im z}{\Re z} \stackrel{(27.2)}{=} \frac{z_1 \sin \varphi_1 + z_2 \sin \varphi_2}{z_1 \cos \varphi_1 + z_2 \cos \varphi_2}$ (1)



Spezialfall: $|z_1| = |z_2|$: $z(t) = e^{i\omega t} |z_1| (e^{i\varphi_1} + e^{i\varphi_2})$ (2)

$$= e^{i\omega t} |z_1| e^{i(\varphi_1 + \varphi_2)/2} [e^{i(\varphi_1 - \varphi_2)/2} + e^{-i(\varphi_1 - \varphi_2)/2}]$$
 (3)

\Rightarrow Phase: $\varphi = \frac{1}{2}(\varphi_1 + \varphi_2)$ (4)

Verschiedene Frequenzen:

"Überlagerung": $z(t) = z_1 e^{i\omega_1 t} + z_2 e^{i\omega_2 t}$ (5)

$$\bar{\omega} = \frac{1}{2}(\omega_1 + \omega_2)$$

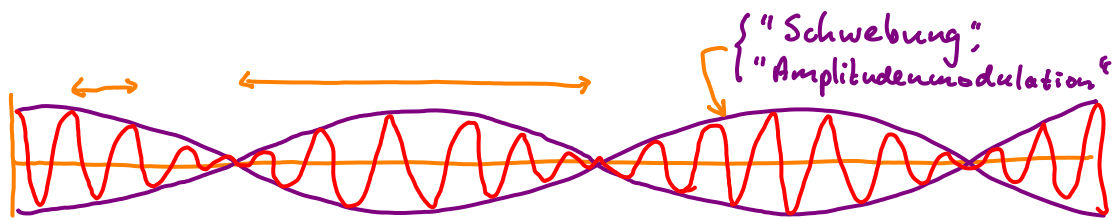
$$\Delta\omega = \frac{1}{2}(\omega_1 - \omega_2)$$

$$\omega_1 \quad \omega_2 \} = \bar{\omega} \pm \Delta\omega$$

$$= e^{i\bar{\omega}t} [|z_1| e^{i(\Delta\omega t + \varphi_1)} + |z_2| e^{i(-\Delta\omega t + \varphi_2)}]$$
 (6)

= Produkt einer schnellen und einer langsamem Schwingung

Falls $\Delta\omega \ll \bar{\omega}$: Schwebungen (Amplitudenmodulation) (also $\omega_1 \approx \omega_2$)



Schwebung lässt sich nutzen, um Frequenzen von zwei Wellen aufeinander abzustimmen!

ω_1 sei gegeben: verstelle ω_2 , bis Schwebung verschwindet!